

論文

UDC 621.746.27.047 : 620.18 : 536.421.4

湾曲型広幅スラブ連鉄片の凝固組織について*

石黒 守幸**・川上 公成***・伊藤 雅治****・三好 俊吉*****

On the Macro Structure of Carbon Steel Slab Produced by S Type Continuous Wide Slab Casting Machine

Moriyuki ISHIGURO, Kiminari KAWAKAMI, Masaharu ITO, and Shunkichi MIYOSHI

Synopsis:

It was observed that the macro structures of carbon steel slab produced by S type continuous wide slab casting machine were asymmetrical, that is, columnar crystal was generated in the upper site of the slab and branched columnar crystal or equiaxed crystal was generated preferentially in the under site.

In order to clarify the cause for above-mentioned asymmetric feature, various investigations, model experiments with water and many operation tests were carried out.

The results obtained are as follows:

- (1) The formation of macro structures of continuously cast steel slab was intensively affected by "Inclination of strand (d.h. gravity)" and "unsolidified steel convection in the shell". In view of this consideration. The formation process of macro structures was able to be separated into three zones.
- (2) Branched columnar crystal formed in the under site of C. C. slab is different from branched columnar crystal formed in steel ingot.
- (3) Conditions of equiaxed crystal formation in continuously cast steel slab are formation of lots of nucleus in liquid steel contacted by copper mould and transport of them to the zone of slow freezing rate inside the liquid crater of continuously cast strand.
- (4) The formation of center segregation is independent of contact of columnar zone in the center position of continuously cast slab.

(Received Nov. 22, 1973)

1. 緒言

日本钢管福山製鐵所は、湾曲型広幅スラブ連鉄機3基を設置して、月間25万以上の連鉄片を生産しており、原理的にすぐれた連鉄法の特性を十分發揮させ、鋼塊法の品質より優れた材質の鉄片を製造するため、各種の調査、試験を実施してきた。

従来、普通鋼塊の铸造組織に関する研究はきわめて多いが、連鉄スラブのそれに関する調査は少ない¹⁾。ここでは、当所の湾曲型連鉄広幅スラブの内質改善のため行なった各種の試験結果にもとづき、鉄片の凝固組織の観点から検討した結果を略述する。

2. 湾曲型連鉄広幅スラブの代表的铸造組織

41キロ級鋼とほぼ同一の成分の鋼を、Table 1に示す2種の铸造条件で製造した広幅スラブ断面の代表的な鉄

造組織を Photo. 1に示した。铸造条件は、Case 2が、Case 1に比べ、タンディッシュ内溶鋼温度が30°C低く、铸造速度が0.05m/min低く設定してある。

Case 1の場合の铸造組織(Photo. 1)は、上面側と下面側で異なつており、下面側には、柱状晶の形成を阻止するように、分岐柱状晶が生成されている。そして、スラブ厚中央部には、濃厚偏析が残存している。Case 2の場合は、スラブ厚中央部に等軸晶が形成されており、濃厚偏析が消滅しているが、下面側の方が等軸晶帯が若干厚く、しかも、その下に分岐柱状晶が認められる。両者に共通した点は、上面と下面の铸造組織が“非対称”になつていていることであり、この铸造組織の非対称性が、

* 昭和48年11月22日受付

** 日本钢管(株)技術研究所 福山研究所

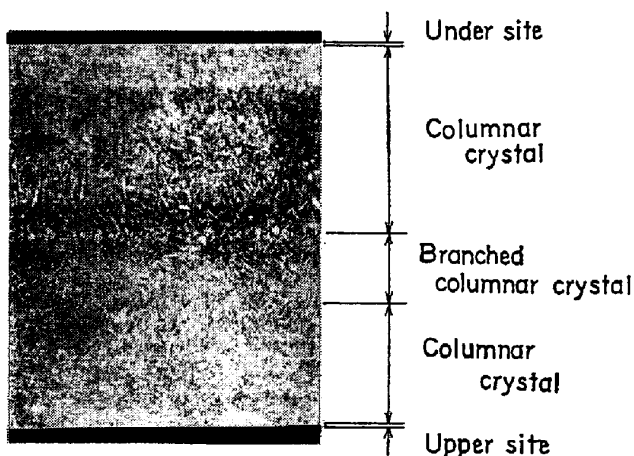
*** 吾嬬製鋼(株)仙台製造所 技術研究室 工博

**** 日本钢管(株)福山製鐵所

Table 1. Casting conditions.

	Case 1						Case 2				
	C	Si	Mn	P	S		C	Si	Mn	P	S
Ladle analysis (%)	0.12	0.21	0.66	0.013	0.013	0.13	0.13	0.20	0.65	0.013	0.019
Tund. temperature (°C)				1550					1520		
Cast. speed (m/min)				0.65					0.60		
Secondary spray intensity (l/kg)				0.78					0.78		
Slab size (mm)						250×1900					

Case 1



Case 2

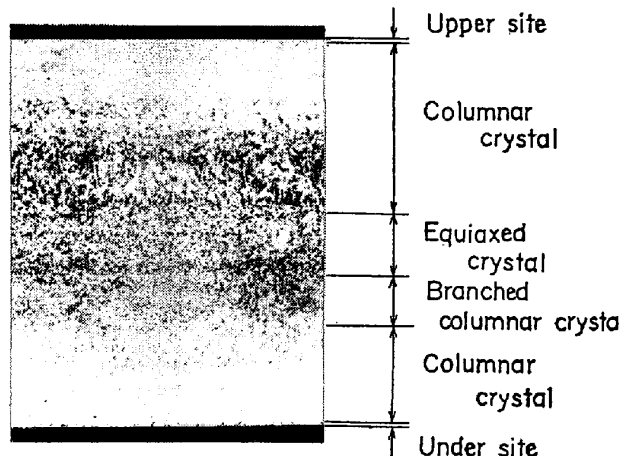


Photo. 1. Macro structures of transverse section of as-cast slab.

湾曲型連鉄片の铸造組織の大きな特徴である。

3. 鑄造組織の成因調査

湾曲型連鉄片の铸造組織に認められた特徴が、どのようなメカニズム、要因により生ずるのかを明らかにするため、以下の諸調査を行なつた。

3.1 鉄片断面の調査

鉄片の上下面の铸造組織に差が存在するからには、鉄片が凝固してゆく過程になんらかの差があつたものと推定される。そこでまず、鉄片の上下面の平均冷却速度と濃度分布の差について調査を行なつた。

3.1.1 二次デンドライト・アーム間隔の測定結果

Case 1 と Case 2 のおのおのの鉄片断面をステッド液により腐食し、デンドライトを現出させ、スラブ厚方向の二次デンドライトアームの間隔の変化を調べた。

測定結果を Fig. 1²⁾に示した。図中に铸造組織の形態範囲を併記したが、铸造組織が非対称であつても、二次

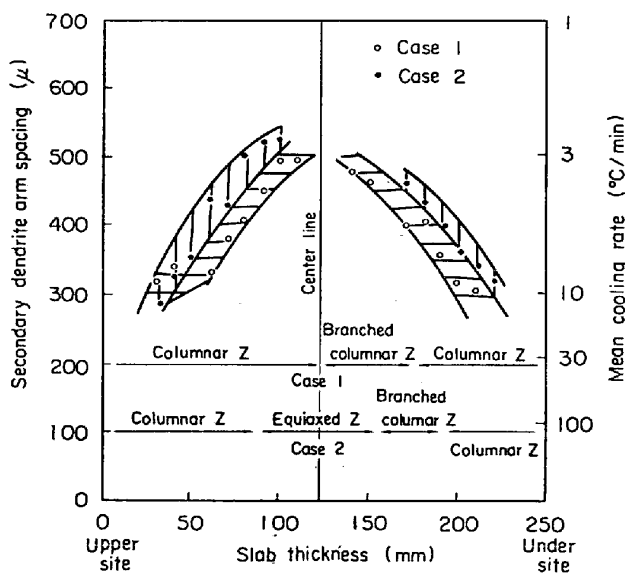


Fig. 1. Changes of secondary dendrite arm spacing illustrated in Photo 1.

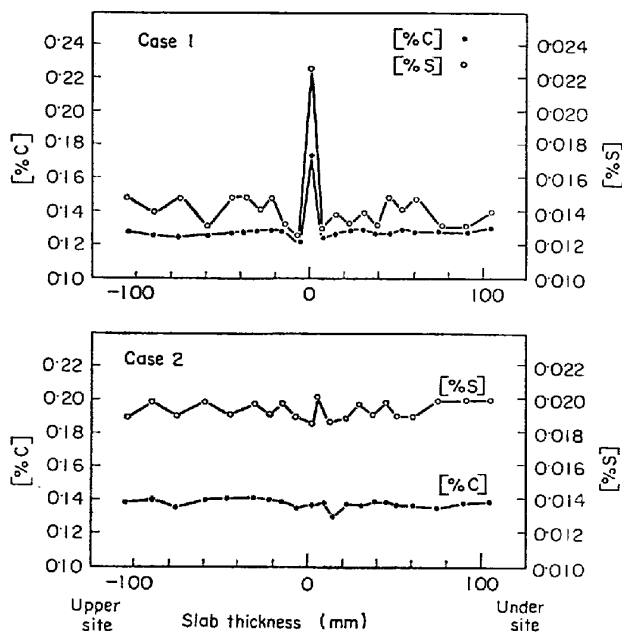


Fig. 2. Distributions of components in as-cast transverse section of C. C. slabs illustrated in Photo 1.

デンドライトアーム間隔は、ほぼ対称であることがわかる。右縦軸は、鈴木ら³⁾の一方向凝固実験結果にもとづき、凝固温度範囲における平均冷却速度を二次アーム間隔と対応させて示したものである。ここで、二次デンドライトアーム間隔と平均冷却速度の関係における絶対値についての可否は別としても、Case 1, Case 2 いずれの場合も、スラブ上下面において平均冷却速度は等しかったことを示している。すなわち、柱状晶の成長は、重力の作用により、下方に沈殿する物体にさえぎられない限り続き、沈殿する物体から等軸晶（あるいは、分岐柱状晶）が生成されると考えられる。

3.1.2 成分濃度分布

Case 1, Case 2 のおのおのの鉄片断面より 5~10mm 間隔に、径 5 mm ϕ のドリルにより削り粉試料を採取し、炭素、硫黄について化学分析を行ない、スラブ厚方向の成分濃度分布を調べた。結果は、Fig. 2 に示すように Case 1 の高温铸造のものは、中心に濃い偏析が存在するが、Case 2 のものには認められない。そして、いずれの場合も、上面と下面で濃度分布に、顕著な差は存在しない。

3.2 凝固組織に及ぼす鋳型傾斜の影響

铸造組織の非対称性は、小型の傾斜鋳型鋼塊⁴⁾にも認められており、鉄片が垂直とある傾きをもつて凝固するため生じるものと推定される。そこで、福山 3 号連鉄機の鉄片サイズ相当 (250 mm 厚 \times 2100 mm 幅) の傾斜鋳

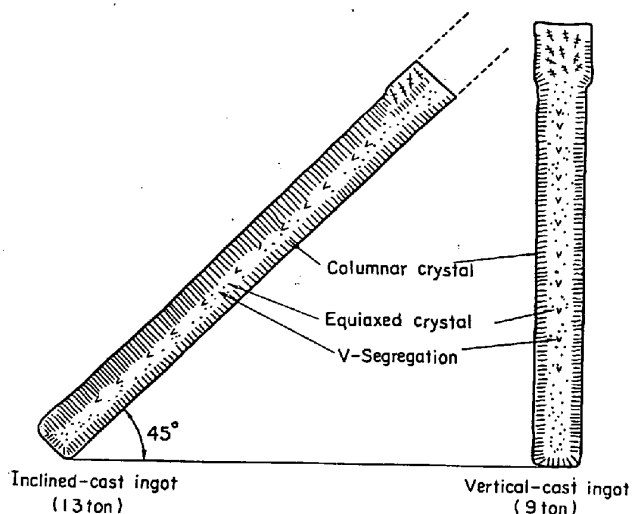


Fig. 3. Comparison for macro structures of Longitudinal as-cast sections of inclined-cast ingot and vertical-cast ingot.

型と垂直鋳型を試作し、同時下注造塊により、41キロ級鋼の傾斜鉄片（約13トン、45°傾斜）と垂直鉄片（約9トン）を製造し、両鉄片の铸造組織について調査を行なつた。

鉄片サンプルの铸造組織を模式図で表わすと Fig. 3 のようになる。垂直鉄片の铸造組織は造塊法鋼塊に類似しており、傾斜鉄片の铸造組織は湾曲型連鉄片によく似ている。垂直の場合は左右対称な铸造組織が得られ、柱状晶に続き、等軸晶が中央まで形成されている。これに対し、傾斜の場合は非対称組織となり、上面からの柱状晶は厚さ中心附近まで発達するが、下面の柱状晶は途中で消滅し、等軸晶が中央まで形成されている。

傾斜鋳型では凝固の進行につれ、上面側にエアギャップが生じるため、上面側は下面側より徐冷される傾向にある。また各鉄片のボトムから約 40% の位置より切粉試料を採取し、炭素、硫黄について化学分析を行なつたところ、等軸晶部で負偏析を生じるのみで、上下面の濃度差は認められなかつた。それにもかかわらず、傾斜鉄片の上面側に柱状晶が発達し、下面側で等軸晶に変化するのは、柱状晶の発達および等軸晶の生成が多分に重力の影響を受けることを示している。

3.3 鋳造停止鉄片の縦割り調査

湾曲型連鉄片の“傾斜”による凝固履歴を明らかにするため、铸造を停止して 25 min そのままの状態で凝固を進行させ、内部まで完全凝固させる試験を行なつた。

試験は、Table 1 に示した 2 つの Case について行なつたので、引き抜き停止までの铸造条件は、Table 1 と同一である。停止中のスプレー冷却水量は、約 1/3~

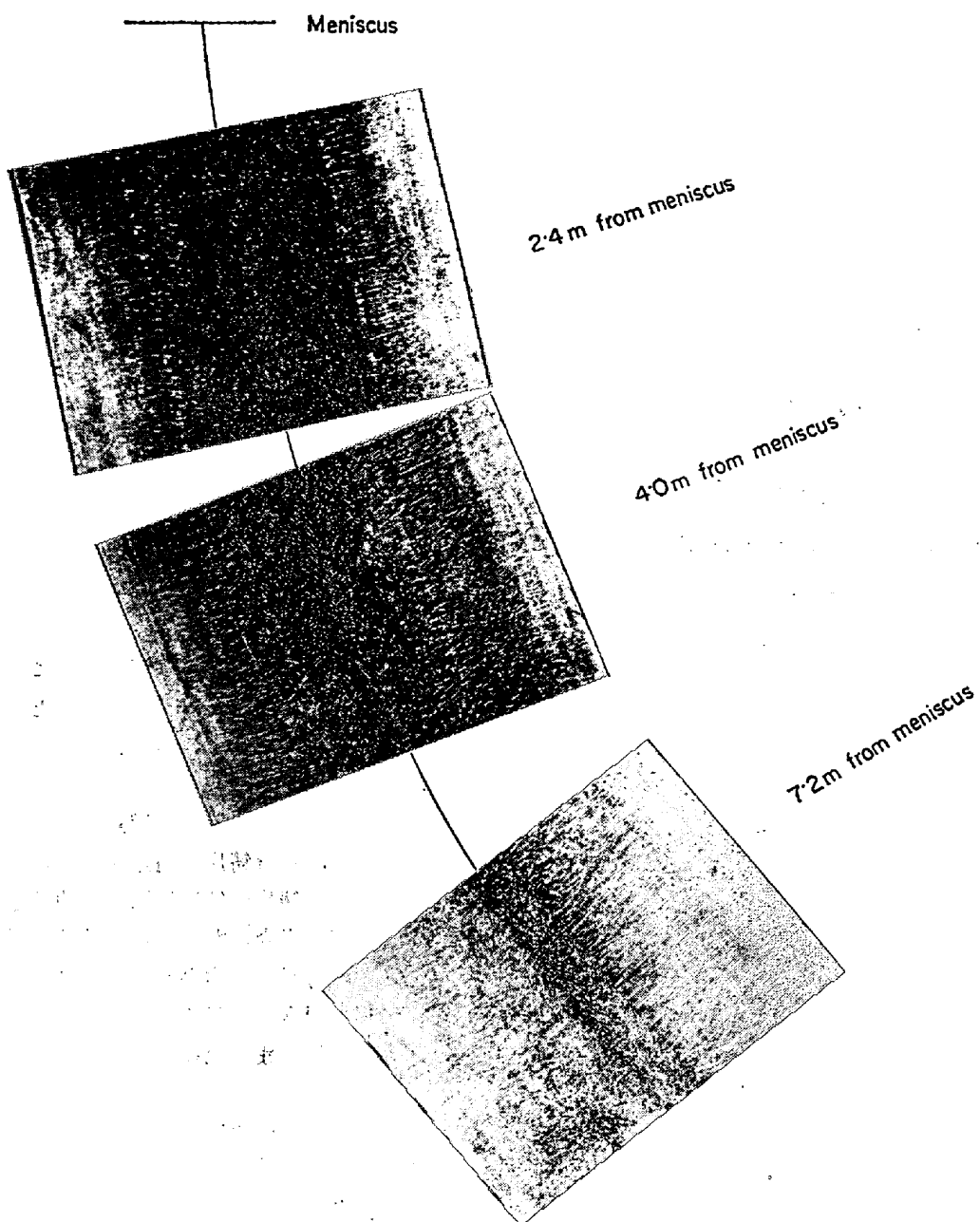


Photo. 2. Representative macro-structures of C. C. slabs at casting stop test (Case 1).

$1/10$ に減じ、25分停止後、再び鋳片を引き抜いた。鋳造後の鋳片から長さ 20m にわたつて幅中央長手方向および、幅方向のサンプルを採取し、鋳片内質の調査を実施した。

Fig. 4^④ に 2 つの Case の鋳片の幅中央長手方向の鋳造組織を概念図にして示した。また、Case 1 の代表的位置の鋳造組織を Photo. 2 に示した。図中の破線は、鋳造停止直後の固液界面の位置を示し、破線内の鋳造組織は、鋳造停止後に形成されたものである。

いずれの場合も、メニスカスから 3.5m 付近までは、中央部は等軸晶、その外部は柱状晶から成つており、中

心線に関し、ほぼ対称な組織となつてゐる。一部に“肥大晶”が発生しているが、これは頭部処理などの外乱によるものと推定される^{*1}。また図中 B で示した 3.5m 付近より、下面側に分岐柱状晶が生成しはじめ、鋳造組織が非対称となる^{*2}。中央部等軸晶については、Case 1 については、V 偏析を伴う等軸晶が、湯面から離れる

*1 ここで言う“肥大晶”は、普通鋼塊に認められるものとまったく同じであり、柱状晶が冷却速度の低下などの原因により選択的に成長肥大したものである。

*2 この分岐柱状晶は、それまで成長してきた柱状晶とは、主軸の位置が、全く異なり、単にそれまで成長してきた柱状晶の選択的成長によるものとは認めにくく、この点で上記肥大晶とは区別して考えるのが適切であろう。

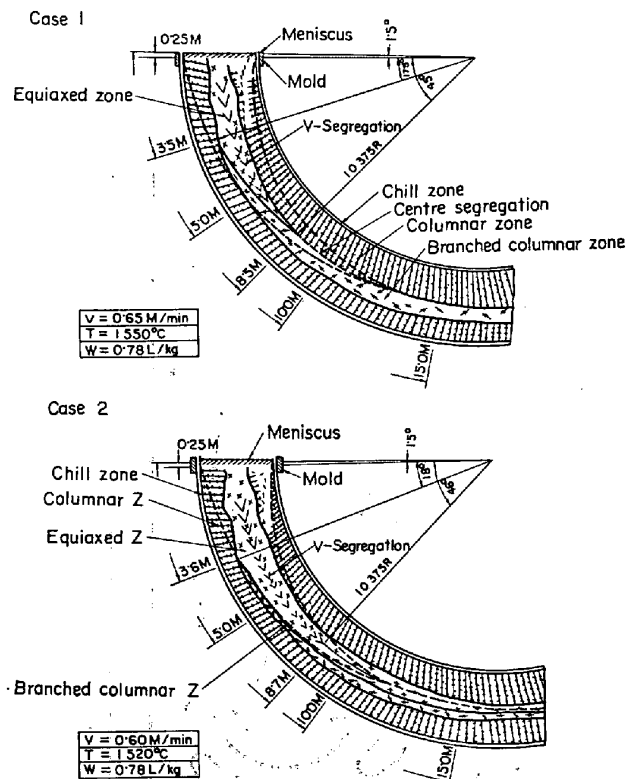


Fig. 54. Schematic diagram showing macro-structures of longitudinal as-cast sections of C.C. slabs at casting stop tests.

につれて幅がせまくなり、図中Aで示した8.5mの位置で消滅しているのに対して、Case 2ではV偏析を伴う等軸晶は8.7mでなくなるが、完全な等軸晶帯はそのまま残留している。いずれもA点以降はほぼ定常状態の铸造組織となる^{*3}。

このような調査結果のうち、とくに注目すべきところは、次の2点である。

(1) メニスカスから3.5m付近から铸造組織に傾斜の影響が出はじめ、下面側に分岐柱状晶が生成して非対称組織となる。

(2) 高温鉄込みでは、メニスカスから約8.5m以降では等軸晶が消滅するが、低温、低速铸造では等軸晶が持続して形成される。

3.4 鋳片内未凝固溶鋼の流动深さと凝固シェル発達状況の測定

铸造中の鋳片内には、タンディッシュノズルからの噴流により引き起こされた強制流动が存在しており、この

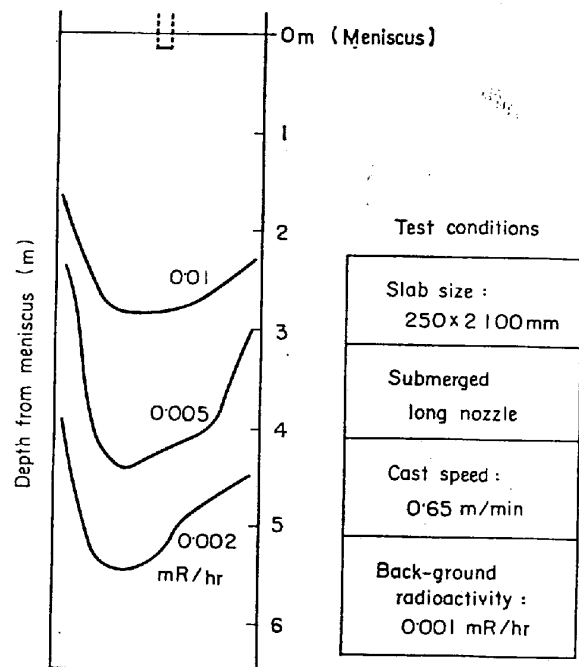


Fig. 5. Equi-distribution line of radioactivity in the C.C. strand (Addition of ^{198}Au in molten iron).

強制流动は、凝固前面の状況を変化させる。そこで、溶鋼流出状況の異なる逆Y丸型ロングノズルと逆Y箱形ノズル（流出孔径が大きく流出速度が小さい）を使い、鋳片内未凝固溶鋼の流动範囲と凝固シェル発達状況を測定した。定常铸造中のモールド内に、アルミ箔で包んだ ^{198}Au を添加し、スラブ冷却後、スラブ表面からシンチレーション・カウンターで放射能を測定し、強度分布を求め、また切断面のオートラジオグラフから、シェル厚さの発達状況を求めた。

凝固シェル厚さの発達状況には、ほとんど差が認められなかつたが、よく知られているLightfootの凝固式を実験式として使用し、(1)のような式を採用した。

$$D = 30\sqrt{t} - 11.8 \quad \dots \dots \dots \quad (1)$$

ここで D : シェル厚さ (mm)

t : 凝固時間 (min)

溶鋼流动の侵入深さの測定結果の1例として、ロングノズルの場合をFig. 5に示した^{*1}。

3.5 水モデル実験による鋳片内未凝固溶鋼の流动状況の解明

ノズル噴流により引き起こされた鋳片内の溶鋼の強制流动の実体を明らかにするため、福山連鉄機の1/3の大

^{*3} 定常状態の铸造組織では、V偏析が認めにくく、铸造停止鋳片にV偏析が現われる原因是、定常铸造時には、凝固収縮によるサクションが生じても、上部に溶鋼の自由表面を持つ未凝固溶鋼が、流动により連續的に供給されるのに対して、停止鋳片では、頭部処理などにより、未凝固溶鋼の連續的供給が不十分となるためと考えられる。

^{*1} この図から、ロングノズル使用の場合、ノズルからの溶鋼の侵入深さは、約5.5mであることがわかる。箱形ノズルの場合、この侵入深さは、約4.1mで、ロングノズルの場合よりも1.4m浅い。

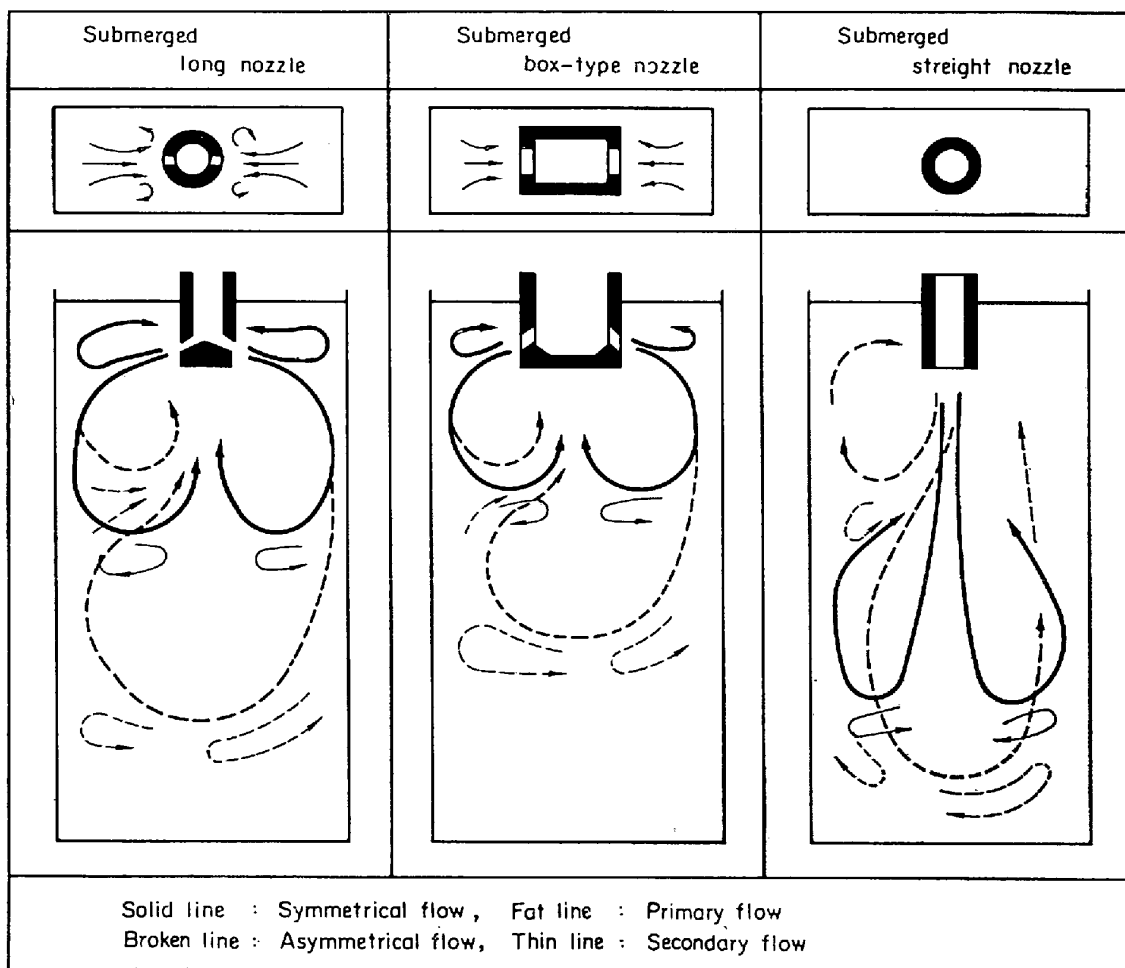


Fig. 6. Schematic diagram showing different flow patterns of molten iron in the C. C. strand (Results of modelling test).

きさの大型プラスチックモデル実験装置を製作し、末凝固鉄片内深さ約9mまでの溶鋼状能を再現する実験を行なつた。

Fig. 6^⑥に、凝固シェル内流動状況のノズルによる差を示した。どのノズルの場合も、ノズルからの噴流は、鉄片幅方向には対称な流れを生じにくく、非対象な片下り流れを作り、周期的に左右の流れが入れ替わる特徴がある。シェル内の強制流動は、二次流れの先端で消滅し、片下り流れの場合、対称な流れの2倍ほど深く侵入する^{*2}。

3.6 分岐柱状晶生成に及ぼすシェル内溶鋼流動の影響

50キロ級鋼をCase 1とほぼ同一の铸造条件で、同一チャージの第1、第2ストランドに、前記のロングノズルと箱型ノズルを取りつけ、5チャージの試験铸造を行なつた。铸造後、定常铸造状態の鉄片より、各ストラ

ンドの相対する位置からサンプルを切り出し、スラブ下面より分岐柱状晶の生成開始長さを測定した。この実測値と(1)式とから、分岐柱状晶が生成開始点のメニス

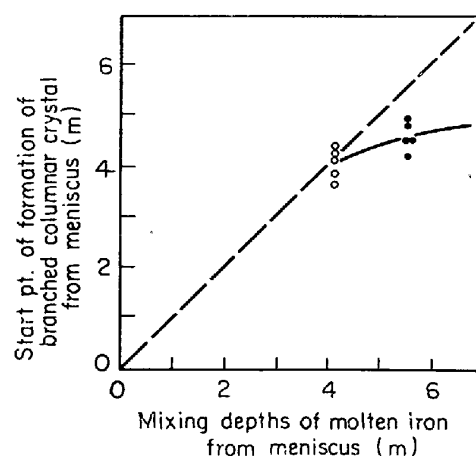


Fig. 7. Relation between mixing depths of molten iron from meniscus and formation of branched columnar crystal of C. C. slab.

*2 モデル実験により、Fig. 5の铸造条件により、二次流の到達深さを測定したところ、約5.5mとなり、Fig. 5のRIによる実機の溶鋼流動侵入深さと、きわめてよい一致を示した。

カスからの深さを求めるニスカスからの流動侵入深さとの関係を調べると、Fig. 7 のようになる。この図の横軸の溶鋼侵入深さは、3・4 項で示した方法により求めたものである。分岐柱状晶は、ノズルからの流動深さが深いほど内部に形成される。そして、箱形ノズルの場合は、流動がほぼ消滅する点から発生するが、ロングノズルでは、消滅点より前から発生している。これは、鉄片の傾斜の影響によるものと考えられ、箱形ノズルの流動消滅点に相当する傾斜角度(20度)では、ロングノズルのそれ(24度)に比べ、傾斜の影響を受けにくく、流動の影響を大きく受けることを示している。

4. 考 察

湾曲型連鉄スラブの铸造組織の特徴である上下面の非対称組織の原因を明らかにするため、前章のような諸種の試験、調査を行ない、つきのような結果を得た。

(1) 鉄片の上下面における冷却速度および成分濃度分布には明確な差は認められず、非対称組織を生成する原因として、上下面の冷却速度および凝固時の成分濃度分布を取り上げることはできない。

(2) 分岐柱状晶の生成開始位置は鉄片内における溶鋼流動と、鉄片の傾斜の影響を受け、通常溶鋼流動消滅点近傍の下面側に形成される。

(3) 垂直鉄片と傾斜鉄片の比較テストにより、等軸晶の形成も重力の影響を大きく受け、流動の直接的影響は受けず、むしろ鉄込みの強制対流が消滅してから下面側に形成されるように見受けられる。

(4) 未凝固鉄片内における溶鋼流動の存在範囲は、鉄片断面形状、ノズル形状、铸造速度により異なり、さらに、片下り流れの存在により対称流れの場合より相当深くなるとは言え、微弱な二次流れの消滅下限を含めて、高々ニスカスより 5~6 m のところである。それよりクレーター・エンドまでは、自然対流以外の溶鋼流動の影響は受けず、鉄片の傾斜の影響を大きく受けるものと考えられる。

従来、鋼塊の铸造組織の生成メカニズムに関する研究は、数多く行なわれている^{1)~18)}。これらを結晶核の生成とその成長という観点からながめ、铸造時に必然的に生ずる対流とか、結晶片の移動とかのかかわりあいについて、簡単にまとめるとつきのようになる。

このような結晶核の生成と铸造組織への成長は、ミクロ的には、凝固前面における過冷の程度により支配され、その過冷は、凝固前面における溶質濃度分布および温度勾配によって決定される。そしてミクロ的諸条件は、溶鋼の対流とか、結晶片の沈降、濃化溶鋼の浮揚などのマ

凝固組織	核の生成	成長	関係するマクロ的現象
チル晶	熱的過冷と対流による増殖	—	溶鋼の対流攪拌
柱状晶	チル晶の一部が起点となる	チル晶のうち結晶の[100]方向が拔熱方向に、ほぼ一致したのみが優先成長	溶鋼の流動濃化溶鋼の浮揚
肥大晶 (普通鋼塊では分岐柱状晶と同一)		拔熱方向が乱れるため肥大化	—
等軸晶	①チル晶帶で形成された結晶片 ②デンドライトの部分的再溶解したものの ③上表面デンドライトの showering	多量の核の存在が等軸晶帶形成の主条件	結晶片の沈降溶鋼の対流による結晶片の移動

クロ的現象により大きな影響を受けるとされている。

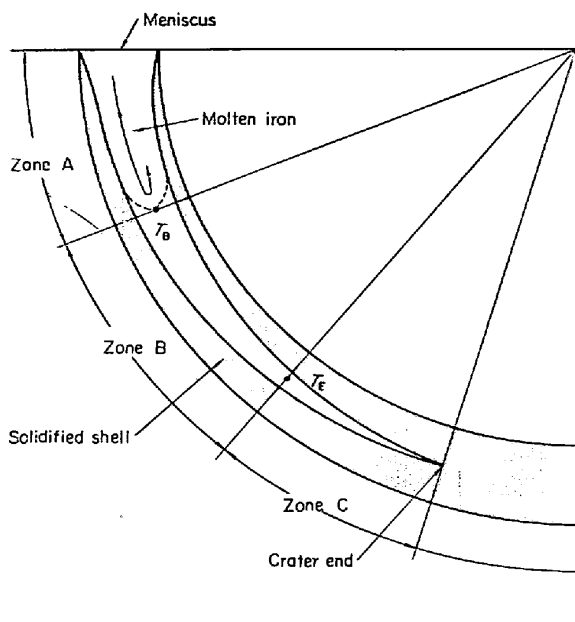
連鉄片における铸造組織も、連鉄片の下面側に形成される分岐柱状晶を除いて、生成メカニズムは、上記(1)~(4)の結果に基づくかぎり、鋼塊法のそれと大差は認められない。

連鉄片の分岐柱状晶は、鋼塊に認められる肥大晶とはつぎの点で異なる。①鋼塊の肥大晶は、鋼塊上部におもに形成されるが、連鉄片の分岐柱状晶は下面に形成される。②鋼塊の肥大晶は、柱状晶が成長過程で選択成長し、単に肥大となつたもので肥大晶のデンドライトの軸は柱状晶と部分的に連続しているが、連鉄片の分岐柱状晶は、柱状晶の主軸の上に、明らかに別のデンドライトが不規則におおいかぶさつた形状をしており、下の柱状晶とは不連続となつていている。したがつて、連鉄片の分岐柱状晶は、結晶片の沈降と関係のあるメカニズムで生じたものであり、肥大晶とは異なる。

それでは、連鉄片の上下面の非対称組織を生ぜしめる分岐柱状晶と等軸晶の生成メカニズムは、どのようなものであろうか。

従来の研究および今回の諸調査によれば、分岐柱状晶と等軸晶は、なんらかの結晶片の移動、沈降と深い関係にあることを示しており、溶鋼の対流がこの結晶片の運動に量的な役目をなつてることがわかる。

この結晶片の実体は不明であるが、連鉄片では、低温



T_B : Vanish point of forced convection of molten iron.
 T_E : Start point of formation of equiaxed crystal zone.

Fig. 8. Schematic diagram showing influence of strand inclination and mixing of molten iron on formation of different crystal structures of continuously cast slab.

铸造を行なうほど、生成されやすいことから、モールド付近のチル晶帯で生成されると推定される。生成された結晶片が成長するか、消滅するかは、生成された核の量とともに溶鋼の過冷度によって決定される。また、それが分岐柱状晶になるか、等軸晶となるかは、核が沈降し着床するまでの履歴と着床した場所の過冷度によって決定されると考えられる。

結局湾曲型連鉄片の非対称铸造組織はつきのようなメカニズムにより形成される。

メニスカス近傍の銅モールド内で生成された結晶片は、ノズルからの流動に乗つて流動消滅点近傍の下面側に着床する。着床した結晶片は柱状晶の成長をおさえて新たに成長を開始する。

この際、凝固前面の冷却速度が上面側と同じであるためデンドライト状の成長をするが、成長方向を抜熱方向にそろえるほど温度勾配がないため分岐柱状晶となる。低温铸造時に等軸晶帯が得られるのは、モールド冷却帶において熱的過冷が最も広範囲に起こりやすく、注入流動による核の増殖も活発で多量の核が形成され、これが、溶鋼バルクが低温であるため再溶解されにくく、重力作用により多量に沈降することによるものである。なお、重力の影響として、このほか濃化溶鋼の浮揚と自然対流による上下面の溶鋼温度差があるが、Fig. 1, Fig. 2 の結

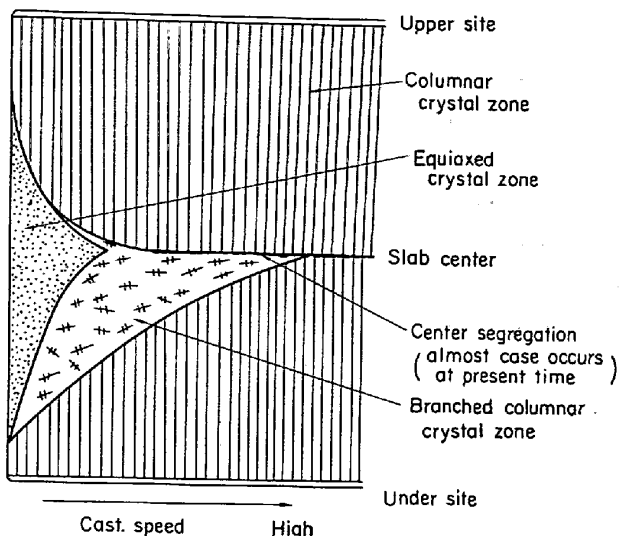


Fig. 9. Relation between change of macro structure and casting speed and casting temperature.

果はこれらの直接的影響は、小さいことを示している。

このような連鉄片の铸造組織の形成を、鉄片の“傾斜(重力)”と“溶鋼流動”に着目して、铸造過程を3つのZoneに区分して示すと、Fig. 8となる。

図中 T_B 点は、ノズルからの強制流動が消滅する点であり T_E 点は、等軸晶の生成が可能となる点を意味する。3つのZone内における铸造組織の形成状況を以下に示した。

Zone A : メニスカス— T_B 間

傾斜角度が小さく、ノズルからの溶鋼流動により凝固前面が洗われている。結晶片(核)は、 T_B 点以下に洗い流され、スラブ上下面の铸造組織の対称性が保たれる。

Zone B : T_B — T_E 間

傾斜角度が大きくなり、かつノズルからの溶鋼流動の影響が減るため、スラブ下面側に、結晶片が集積し生長がはじまり、柱状晶の形成を阻止する。この結果下面側に分岐柱状晶が、生成され铸造組織が非対称となる。

Zone C : T_E —クレーター・エンド

傾斜角度がさらに大きくなり、溶鋼流動は、自然対流を除いて無視できる。このZoneは、結晶片さえ存在すれば、十分等軸晶を形成するに必要な条件を満たしており、低温铸造をすれば、この条件が満足される。

各Zoneを区分する遷移点、 T_B , T_E は、鉄片サイズ、鋼種、铸造速度、冷却速度が大幅に変わらないかぎり、“鉄片の傾斜”と“溶鋼流動”により決定される。

5. 広幅連鉄スラブの铸造組織と中央偏析の関係

Photo. 1, Fig. 2 から明らかなように、スラブ中央部で柱状晶と(分岐)柱状晶が接するような铸造組織では、中央部に濃厚偏析が残存しやすく、等軸晶の場合には、濃厚偏析は分散消滅している。そのため中央偏析低減対策として、等軸晶凝固を促進させる努力がはらわれている。

前記の铸造組織の生成メカニズムによれば、铸片上下面の铸造組織は、Fig. 9 に示すように、铸造速度と铸造温度により変化する。この図は、多量の铸造速度変化テストの結果をまとめたものである。したがつて効果的に等軸晶を生成させるには、ある程度低速で、低温铸造を行なう必要がある。また、速度を落とさない铸造法としては、铸片未凝固溶鋼の電磁攪拌により、スラブ厚央部に等軸晶を形成させる技術が開発されている¹⁹⁾。

しかし、最近の調査・研究によれば、中央偏析の生成とスラブ厚中央部の柱状晶凝固との間に因果関係は認めにくく、ロールパスラインの調整、ロール間隔の徹底的管理などによつて、スラブのバルシング防止対策をとることにより、スラブ厚中央部で、柱状晶が接するような場合でも、中央偏析の全く存在しないスラブの製造が可能なことが明らかとなつてきている*。

6. 結 言

湾曲型広幅スラブ連鉄片の铸造組織が、分岐柱状晶あるいは、等軸晶を、下面側に優先的に生成し、非対称となる原因を明らかにするため、種々の調査、水モデル実験、操業試験を行ない、つぎの知見を得た。

1. 連鉄片の铸造組織の形成には、“铸片の傾斜(重力)”と“シェル内の溶鋼流動”が大きな影響を及ぼす。このような観点にそつて、連鉄片の铸造組織の形成過程を3つのZoneに分けて整理した。
2. 連鉄片の下面側に生成される分岐柱状晶は、インゴットの肥大晶とは異なる。
3. 連鉄片の等軸晶の生成条件として、つぎの2点を

示した。

- ① モールド内において多量の結晶核を生成させること。
- ② この結晶核を、铸片内部の徐冷帯に移動させること。
4. 連鉄片の中央偏析の生成と、铸片厚さ中央における柱状晶の接触とは、直接無関係である。

文 献

- 1) 根本秀太郎: 第12回西山記念講座(鉄鋼協会編)
- 2) 川上, 細田, 半明: 鉄と鋼, 58(1972) 4, p. 97
川上, 楠, 半明, 石黒: 学振製鋼19委9475凝固125(昭和47年9月)
- 3) 鈴木, 鈴木, 長岡, 岩田: 日本金属学会誌, 32(1968), p. 301
- 4) 中川, 百瀬: 鉄と鋼, 53(1967) 12, p. 1406
- 5) 川上, 石原, 半明: 鉄と鋼, 58(1972) 4, p. 96
川上, 楠, 半明, 石黒: 学振製鋼19委9475凝固125(昭和47年9月)
- 6) 川上, 楠, 石黒, 菅原: 学振19委第3分科会凝固, 19委9525, 凝固133
- 7) W. C. WINEGARD, and B. CHALMERS: Trans. ASM, 46(1954), p. 1214
- 8) B. CHALMERS: Principles of Solidification, (1964), p. 259
- 9) T. F. BOWER and M. C. FLEMINGS: Trans. AIME, 239(1967), p. 216
- 10) 日本金属学会編: 結晶成長と凝固, (昭和44年) p. 38
- 11) W. MORRIS, W. A. TILLER, J. W. RUTTER, and W. C. WINEGARD: Trans. ASM, 47(1955), p. 463
- 12) B. CHALMERS: J. Aust. Inst. Metals, 3(1963), p. 255
- 13) K. A. JACKSON, et al.: Trans. AIME, 236(1966), p. 149
- 14) R. T. SOUTHIN: Trans. AIME, 239(1967), p. 220
- 15) Reports on the Heterogeneity of Steel Ingots: JISI, 113(1926), p. 39
- 16) C. BENEDICKS: JISI, (1937), p. 363
- 17) B. GRAY: JISI, 182(1956), p. 366
- 18) H. KOSMIDER, et al.: Stahl u. Eisen, 77(1957), p. 133
- 19) 西脇, 伊藤, 和田: 鉄と鋼, 59(1973), 11, p. 100
川上, 細田, 伊藤: 学振製鋼19委9629凝固147(昭和48年9月)

*もちろん通常の連鉄マシーンの管理では、完全にスラブのバルシングを防止することは困難であり、このような場合には、等軸晶凝固を促進させ、濃縮偏析を分散消滅させる方法が有利である。